## 歪による無限層 Sr<sub>1-x</sub>La<sub>x</sub>CuO<sub>2</sub> スパッタ薄膜の超伝導特性制御

Control of Superconducting Properties of Infinite-Layer  $Sr_{1-x}La_xCuO_2$  Sputtered Film by Strain °作間 啓太 <sup>1</sup>, 伊藤 雅崇 <sup>2</sup>, 羽尻 哲也 <sup>2</sup>, 植田 研二 <sup>2</sup>, 三浦 正志 <sup>1</sup>, 浅野 秀文 <sup>2</sup> (1. 成蹊大, 2. 名大院工)

°Keita Sakuma<sup>1</sup>, Masataka Ito<sup>2</sup>, Tetsuya Hajiri<sup>2</sup>, Kenji Ueda<sup>2</sup>, Masashi Miura<sup>1</sup>, Hidefumi Asano<sup>2</sup> (1. Seikei Univ., 2. Nagoya Univ.)

E-mail: sakuma.keita@st.seikei.ac.jp

<u>背景</u>:無限層  $Sr_{1-x}La_xCuO_2$  (SLCO,  $a_{SLCO}=0.3494$  nm for x=0.1)は単純な結晶構造を有し、物性研究や工学応用において有用な物質であると考えられている。SLCO は歪により超伝導特性が大きな影響を受けることが知られており、Molecular Beam Epitaxy 法を使用し引張歪を印加できる特殊な KTaO<sub>3</sub> (0.399 nm)基板を用いることにより、バルク値( $T_c \sim 42$  K)に近い超伝導転移温度が得られることが報告されている  $^{11}$ 。しかし、この現象の詳細なメカニズムは明らかではなく、その他の製膜法では  $T_c \sim 20$  K 程度の報告のみである。我々は Ba 組成(y)の異なる Ba $_y$ Sr $_{1-y}$ TiO $_3$ (BSTO; 0.391  $\sim$  0.399 nm)を用いることにより、SLCO 薄膜の歪を精密に制御し歪効果の解明を試みてきた  $^{2,3}$ )。本研究では、SLCO(x=0.125)スパッタ薄膜の歪と超伝導特性および磁場中特性との関係を調べた。

**実験方法** : SLCO 薄膜はx = 0.125 のターゲットを使用しスパッタ法を用いて、基板温度  $560^{\circ}$ C, において BSTO  $(y = 0.2 \sim 0.7)$ バッファ層上に膜厚 25 nm として製膜した。その後超伝導化のため、還元アニール処理を  $530^{\circ}$ C で行った。SLCO と BSTO の間の格子不整合率は  $-0.5 \sim 0.6\%$ となる。

**結果**:図1にSLCO薄膜の $a_{SLCO}$ のBSTOバッファ層の面内格子定数 $(a_{BSTO})$ 依存性を示す。比較として、SrTiO $_3$ (0.391 nm)および KTaO $_3$  基板の結果も示す。BSTO $_2$  = 0.7), SrTiO $_3$  上では歪が緩和し、他のSLCO薄膜では $a_{SLCO} \approx a_{BSTO,Sub}$ となりコヒーレンス成長した。 $a_{SLCO}$ の減少は、頂点酸

素の減少およびポアソン効果に起因していると考えられる。図2に $T_c^{ONSET}(\Delta)$ および $T_c^{ZERO}(\Delta)$ の $a_{SLCO}(SLCO)$ の面内格子定数)依存性を示す。 $a_{SLCO}$ が増加するに伴い $T_c$ が上昇し、その後低下した。本研究において、 $T_c$ はある適切な歪を印加したSLCO薄膜[on BSTO(y=0.6)]において最大値を示し、バルク値に近い超伝導転移温度39 K を示した。

一般的に電子ドープ高温超伝導体では、電子を  $CuO_2$  面にドープすることにより Cu-O バンドが広がる( $a_{SLCO}$  の伸張)ことが知られ、 $a_{SLCO}$  と  $T_c$  の関係(Fig. 2)から  $a_{SLCO}$  とキャリア量の相関が示唆される。講演では、磁場中特性の結果を加え、歪(Cu-O 間距離)とキャリアドーピングの関係から歪効果について議論し、歪による超伝導特性および磁場中特性制御の可能性を示す。

- 1) S. Karimoto et. al. Appl. Phys. Lett. 84, 2136 (2004).
- 2) K. Sakuma et al. Thin Solid Films 612, 8-13 (2016).
- 3) K. Sakuma *et al*, Appl. Phys. Express **9**, 023101 (2016)

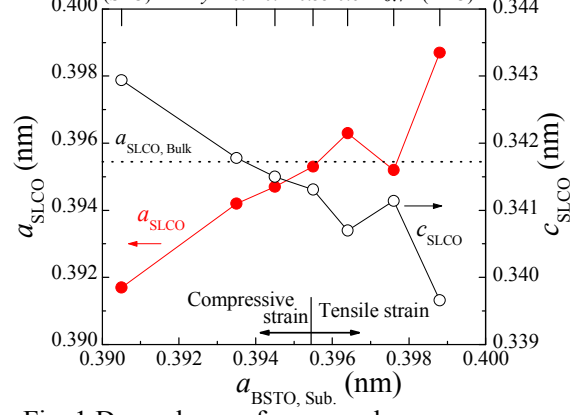


Fig. 1 Dependence of  $a_{SLCO}$  and  $c_{SLCO}$  on  $a_{BSTO}$ .

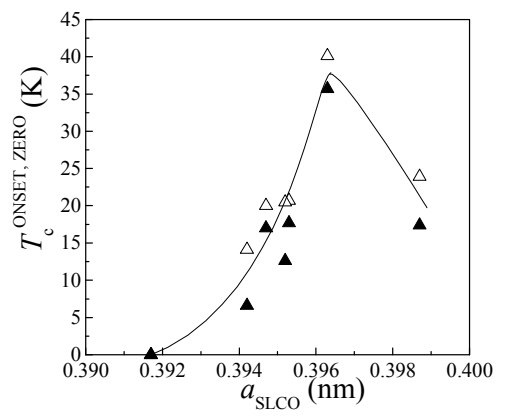


Fig. 2 Dependence of  $T_c^{\text{ONSET,ZERO}}$  on  $a_{\text{SLCO}}$ .